

从计算机视觉(slam)和摄影测量两个维度进行 ba 算法原理推导

摄影测量作为历史悠久的学科，在 3D 视觉里面很多算法发挥着重要的作用；而 slam 的出现对摄影测量是某种程度上的冲击，但是并不能代表 slam 领域将会完全取代摄影测量领域，两者应该相互借鉴。以 bundle adjustment 为例出发点都是重投影误差，但是 slam 雅可比的计算是利用李群，而摄影测量的雅可比的计算是利用共线条件方程(非线性方程)泰勒展开，两者的最终结果相同，但是原理推导上有所差异：

令重投影误差: $r(\xi) = \mathbf{p}' - \mathbf{p}$, 其中 \mathbf{p}' 是像点近似值, \mathbf{p} 是观测值, $\xi = \begin{bmatrix} \rho \\ \phi \end{bmatrix} \in \mathbb{R}^6$

本文从李群和共线方程两个学科角度来解释 bundle adjustment, 并介绍 bundle adjustment 后如何精度评定及其 pose 增量变化在图像上的几何意义，而更多关于 bundle adjustment 的代码问题，如：

- (1) pose 作为 const，只优化 3D points 和相机内参和畸变系数.
- (2) 经典的 BA，pose 和 3Dpoints 以及相机内参和畸变系数都优化
- (3) pose 部分参数优化，如只优化 rotation，固定 translation
- (4) bundle adjustment 加上 GPS 约束
- (5) bundle adjustment 加上 marker 约束
- (6) bundle adjustment 在没有 gps、没有 gcp 的 case 加上真实世界中实际物体(如桌子长度)的 scale 约束

以上等等可以关注本人“视觉三维重建的关键技术与实现-colmap 代码解析”课程视频，具体课程介绍可以扫以下二维码：



1. 李群-利用矩阵

先看 ceres 中的定义如下：

```
local_jacobian = global_matrix * local_jacobian //ceres solver local_parameterization.h
```

C++ ▾

根据链式求导法则 $\frac{\partial r(\xi)}{\partial \xi} = \frac{\partial r(\xi)}{\partial \mathbf{p}} * \frac{\partial \mathbf{p}}{\partial \xi}$

(1) Jacobian 0:

$\mathbf{J}_0 = \frac{\partial r(\xi)}{\partial \mathbf{p}'} = \mathbf{I} \in \mathbb{R}^{2 \times 2}$

(2) Jacobian 1:

$\mathbf{J}_1 = \frac{\partial \mathbf{p}'}{\partial \mathbf{p}} = \frac{\partial(u,v)}{k * \partial(\bar{X}', \bar{Y}')}$

其中 $\mathbf{p}' = \mathbf{K} * \mathbf{p}$, 假设相机模型是 pinhole 模型, 即 $\mathbf{K} = \begin{bmatrix} f_x & 0 & c_x \\ 0 & f_y & c_y \\ 0 & 0 & 1 \end{bmatrix}$

$\mathbf{p} = \begin{bmatrix} f_x & 0 \\ 0 & f_y \end{bmatrix} * \begin{bmatrix} \bar{X}' \\ \bar{Y}' \end{bmatrix} + \begin{bmatrix} c_x \\ c_y \end{bmatrix}$

则 $\mathbf{J}_1 = \begin{bmatrix} f_x & 0 \\ 0 & f_y \end{bmatrix} \in \mathbb{R}^{2 \times 2}$

(3) Jacobian 2:

由(2)继续进行链式求导:

$$\mathbf{J}_2 = \frac{\partial \bar{p}}{\partial \bar{p}} = \frac{\partial (\bar{X}', \bar{Y}')}{\partial (\bar{X}, \bar{Y}, \bar{Z})}$$

其中 $\frac{\bar{X}}{\bar{Z}} = \bar{X}'$ $\frac{\bar{Y}}{\bar{Z}} = \bar{Y}'$, $\bar{P} = [\bar{X}, \bar{Y}, \bar{Z}]^\top$

$$\text{则上式为} \begin{bmatrix} \frac{1}{\bar{Z}} & 0 & -\frac{\bar{X}}{\bar{Z}^2} \\ 0 & \frac{1}{\bar{Z}} & -\frac{\bar{Y}}{\bar{Z}^2} \end{bmatrix} \in \mathbb{R}^{2 \times 3}$$

(4) Jacobian3:

$$\begin{aligned} \mathbf{J}_3 &= \frac{\partial \bar{\mathbf{P}}}{\partial \xi} \\ &= \frac{\partial (\mathbf{T} \cdot \mathbf{P})}{\partial \xi} \\ &= \frac{\partial (\exp(\xi^\wedge) \mathbf{P})}{\partial \xi} \end{aligned}$$

上式便是经典的左扰动模型,根据导数的思想 $\frac{df}{dx} = \lim_{\Delta x \rightarrow 0} \frac{f(x+\Delta x) - f(x)}{\Delta x}$,将上式化为:

$$\begin{aligned} J_3 &= \frac{\partial \bar{P}}{\xi} = \lim_{\Delta \xi \rightarrow 0} \frac{\exp(\xi^\wedge + \Delta \xi^\wedge) P - \exp(\xi^\wedge) P}{\Delta \xi} \\ &\approx \lim_{\Delta \xi \rightarrow 0} \frac{(I + \Delta \xi^\wedge) \exp(\xi^\wedge) P - \exp(\xi^\wedge) P}{\Delta \xi} \\ &= \lim_{\Delta \xi \rightarrow 0} \frac{\Delta \xi^\wedge \exp(\xi^\wedge) P}{\Delta \xi} \end{aligned}$$

继续化简得到如下:

$$\begin{aligned} J_3 &= \lim_{\Delta \xi \rightarrow 0} \frac{\begin{bmatrix} \Delta \phi^\wedge & \Delta \rho \\ 0^T & 0 \end{bmatrix} \begin{bmatrix} RP + t \\ 1 \end{bmatrix}}{\Delta \xi} \\ &= \lim_{\Delta \xi \rightarrow 0} \frac{\begin{bmatrix} \Delta \phi^\wedge (RP + t) + \Delta \rho \\ 0 \end{bmatrix}}{\Delta \xi} \end{aligned}$$

$$\text{令 } RP + t = \begin{bmatrix} \bar{X} \\ \bar{Y} \\ \bar{Z} \end{bmatrix} = \bar{P}$$

$$\text{则 } \Delta \phi^\wedge (RP + t) + \Delta \rho = \begin{bmatrix} -\Delta \phi_3 \bar{Y} + \Delta \phi_2 \bar{Z} + \Delta \rho_1 \\ \Delta \phi_3 \bar{X} - \Delta \phi_1 \bar{Z} + \Delta \rho_2 \\ -\Delta \phi_2 \bar{X} + \Delta \phi_1 \bar{Y} + \Delta \rho_3 \end{bmatrix}$$

上式对 $\Delta \xi$ (6*1)求导可得:

$$\text{i. 对 } \Delta \rho_{1-3} \text{ 分别求导得} \begin{bmatrix} 1 & 0 & 0 \\ 0 & 1 & 0 \\ 0 & 0 & 1 \end{bmatrix}$$

$$\text{ii. 对 } \Delta \phi_{1-3} \text{ 分别求导可得} \begin{bmatrix} 0 & \bar{Z} & -\bar{Y} \\ -\bar{Z} & 0 & \bar{X} \\ \bar{Y} & -\bar{X} & 0 \end{bmatrix} = -\bar{P}^\wedge$$

$$\text{故 } \mathbf{J}_3 = [\mathbf{I} \quad -\bar{P}^\wedge]$$

$$= \begin{bmatrix} 1 & 0 & 0 & 0 & \bar{Z} & -\bar{Y} \\ 0 & 1 & 0 & -\bar{Z} & 0 & \bar{X} \\ 0 & 0 & 1 & \bar{Y} & -\bar{X} & 0 \end{bmatrix} \in \mathbb{R}^{3 \times 6}$$

故最终的雅可比

$$\mathbf{J}(\xi) = \mathbf{J}_0 \cdot \mathbf{J}_1 \cdot \mathbf{J}_2 \cdot \mathbf{J}_3$$

2.摄影测量-利用共线条件方程

$$x - x_0 = f \frac{a_1(X - X_s) + b_1(Y - Y_s) + c_1(Z - Z_s)}{a_3(X - X_s) + b_3(Y - Y_s) + c_3(Z - Z_s)} = f \frac{\bar{X}}{\bar{Z}}$$

$$y - y_0 = f \frac{a_2(X - X_s) + b_2(Y - Y_s) + c_2(Z - Z_s)}{a_3(X - X_s) + b_3(Y - Y_s) + c_3(Z - Z_s)} = f \frac{\bar{Y}}{\bar{Z}} \quad (1)$$

上式子就是经典的共线条件方程

其中

$$\begin{bmatrix} \bar{X} \\ \bar{Y} \\ \bar{Z} \end{bmatrix} = \begin{bmatrix} a_1 & b_1 & c_1 \\ a_2 & b_2 & c_2 \\ a_3 & b_3 & c_3 \end{bmatrix} \begin{bmatrix} X - X_s \\ Y - Y_s \\ Z - Z_s \end{bmatrix} = \mathbf{R} \begin{bmatrix} X - X_s \\ Y - Y_s \\ Z - Z_s \end{bmatrix}$$

这里令摄影测量的转角系统和 CV 一致,即 R-P-Y 顺序,即:

$$\mathbf{R} = \mathbf{R}(r, p, y) = \mathbf{R}_3(y) \mathbf{R}_2(p) \mathbf{R}_1(r) = \begin{bmatrix} \mathbf{r}_1^\top \\ \mathbf{r}_2^\top \\ \mathbf{r}_3^\top \end{bmatrix}$$

平差模型: 观测值 + 观测值改正数=近似值 + 近似值改正数

$$x + v_x = (\bar{x}) + dx$$

$$y + v_y = (\bar{y}) + dy$$

其中令角元素都是小角

$$\begin{aligned} \frac{\partial x}{\partial X_s} &= \frac{f}{\bar{Z}^2} \left(\frac{\partial \bar{X}}{\partial X_s} \bar{Z} - \frac{\partial \bar{Z}}{\partial X_s} \bar{X} \right) \\ &= -\frac{f}{\bar{Z}^2} (-a_1 \bar{Z} + a_3 \bar{X}) \\ &= \frac{1}{\bar{Z}} \left(a_1 f + f \frac{\bar{X}}{\bar{Z}} a_3 \right) \\ &= \frac{1}{\bar{Z}} [-a_1 f + a_3 (x - x_0)] = -\frac{f}{\bar{Z}} \end{aligned}$$

也是利用链式求导原则, 以下分别对 roll,pitch 和 yaw 求导(对应 无人机 ω (旁向倾角), ϕ (航向倾角), κ (像片旋角))

$$\begin{aligned} \frac{\partial x}{\partial r} &= \frac{f}{\bar{Z}^2} \left(\frac{\partial \bar{X}}{\partial r} \bar{Z} - \frac{\partial \bar{Z}}{\partial r} \bar{X} \right) = f \frac{\bar{X} \bar{Y}}{\bar{Z}^2} \\ \frac{\partial \begin{bmatrix} \bar{X} \\ \bar{Y} \\ \bar{Z} \end{bmatrix}}{\partial r} &= \mathbf{R}_y \mathbf{R}_p \mathbf{R}_r \mathbf{R}_r^{-1} \frac{\partial \mathbf{R}_r}{\partial r} \begin{bmatrix} X - X_s \\ Y - Y_s \\ Z - Z_s \end{bmatrix} = \mathbf{R} \begin{bmatrix} 0 & 0 & 1 \\ 0 & 0 & 0 \\ -1 & 0 & 0 \end{bmatrix} \begin{bmatrix} X - X_s \\ Y - Y_s \\ Z - Z_s \end{bmatrix} \end{aligned}$$

以此类推,最终得到误差方程的系数即雅可比矩阵为:

$$\begin{matrix} \Delta X_O & \Delta Y_O & \Delta Z_O & \Delta roll & \Delta pitch & \Delta yaw \end{matrix}$$

$$\mathbf{B} = \begin{bmatrix} -\frac{f}{Z_i - Z_O} & 0 & -\frac{x'_i}{Z_i - Z_O} & \frac{x'_i y'_i}{f} & -f \left(1 + \frac{x_i^2}{f^2} \right) & y'_i \\ 0 & -\frac{f}{Z_i - Z_O} & -\frac{y'_i}{Z_i - Z_O} & f \left(1 + \frac{y_i^2}{f^2} \right) & -\frac{x'_i y'_i}{f} & -x'_i \end{bmatrix}$$

slam 误差方程系数:

$$-\begin{bmatrix} f_x \frac{1}{Z'} & 0 & -f_x \frac{X'}{Z'^2} & -f_x \frac{X'Y'}{Z'^2} & f_x \left(1 + \frac{X'^2}{Z'^2} \right) & -f_x \frac{Y'}{Z'} \\ 0 & f_y \frac{1}{Z'} & -f_y \frac{Y'}{Z'^2} & -f_y \left(1 + \frac{Y'^2}{Z'^2} \right) & f_y \frac{X'Y'}{Z'^2} & f_y \frac{X'}{Z'} \end{bmatrix} \quad (\text{其中负号代表观测值减去近似值})$$

对比上式 B 矩阵,可见 photogrammetry 和 slam 的雅可比(误差方程系数)完全一样!

3. 精度评定-协方差计算

常见的 BA 代码中,通常认为观测值是等权的,即 $\sigma_0^2 = \sigma_{x'_i}^2 = \sigma_{y'_i}^2 \Rightarrow p_i = \sigma_0^2 / \sigma_{x'_i}^2 = \sigma_0^2 / \sigma_{y'_i}^2 = 1$.

而 6dof 的权的求解是从误差方程出发:

$$(1) \text{ 残差方程为 } \hat{\mathbf{v}}_i = \mathbf{f}_i(\hat{\mathbf{x}}) - \mathbf{l}_i$$

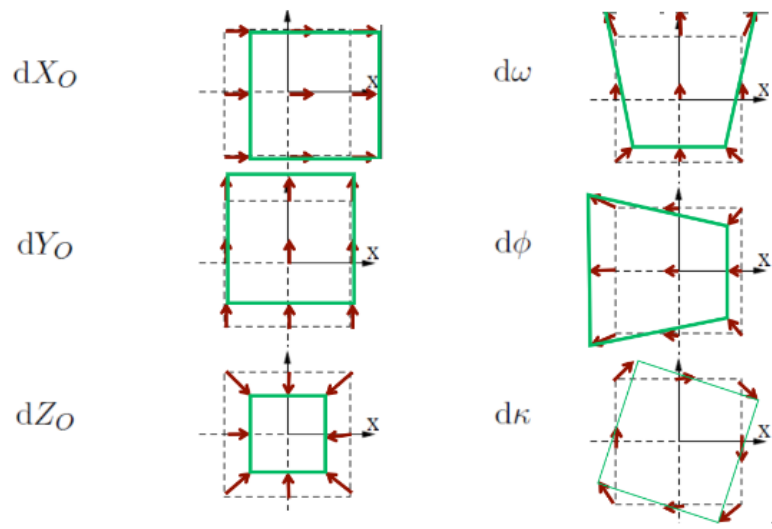
$$(2) \text{ 法方程系数构建 } \Omega = \sum_i \hat{\mathbf{v}}_i^\top P_i \hat{\mathbf{v}}_i, \text{ 这里的 } P_i \text{ 是观测值的权}$$

$$(3) \text{ 计算单位权中误差 } \hat{\sigma}_0^2 = \frac{\Omega}{r} = \frac{\Omega}{2I-6}, \text{ 其中 } I \text{ 代表像点个数}$$

$$(4) \text{ 计算协方差 } \hat{\Sigma}_{\hat{\mathbf{x}}\hat{\mathbf{x}}} = \hat{\sigma}_0^2 \mathbf{N}^{-1}, \text{ 这里的 } \mathbf{N} \text{ 为法方程系数的逆}$$

$$(5) \text{ 6dof 的方差取 } \hat{\Sigma}_{\hat{\mathbf{x}}\hat{\mathbf{x}}} \text{ 的对角线即可}$$

4. BA 6dof 的增量在图像上呈现的几何意义



5. BA 示例代码（只优化 R, t）

李城

3D视觉工坊

```

// 经典的ba 代码采用摄影测量方式编写如下：
#include <iostream>
#include <opencv2/core/core.hpp>
#include <ceres/ceres.h>
#include <chrono>
#include<eigen3/Eigen/Core>
#include<eigen3/Eigen/Dense>
#include<fstream>
#include<math.h>
using namespace std;
double sumVector(vector<double> x)
{
    double sum=0.0;
    for(int i=0; i<x.size();++i)
    {
        sum+=x[i];
    }
    return sum/x.size();
}
// 代价函数的计算模型
struct Resection
{
    Resection ( double X,double Y,double Z,double x, double y,double f ) :_X(X),_Y(Y),_Z(Z), _x ( x ), _y ( y ),_f(f) {}
    // 残差的计算
    template <typename T>
    bool operator() (const T* const camPose, T* residual ) const // 残差
    {
        T Xs=camPose[0];
        T Ys=camPose[1];
        T Zs=camPose[2];
        T w=camPose[3];
        T p=camPose[4];
        T k=camPose[5];
        T a1=cos(k)*cos(p);
        T b1=-sin(k)*cos(w) + sin(p)*sin(w)*cos(k);
        T c1=sin(k)*sin(w) + sin(p)*cos(k)*cos(w);
        T a2=sin(k)*cos(p);
        T b2=sin(k)*sin(p)*sin(w) + cos(k)*cos(w);
        T c2=sin(k)*sin(p)*cos(w) - sin(w)*cos(k);
        T a3=-sin(p);
        T b3=sin(w)*cos(p);
        T c3=cos(p)*cos(w);
        // R=rotationVectorToMatrix(omega,pho,kappa);
        residual[0]=T(_x)-T(_f)*T((a1*(_X-Xs)+b1*(_Y-Ys)+c1*(_Z-Zs))/(a3*(_X-Xs)+b3*(_Y-Ys)+c3*(_Z-Zs)));
        residual[1]=T(_y)-T(_f)*T((a2*(_X-Xs)+b2*(_Y-Ys)+c2*(_Z-Zs))/(a3*(_X-Xs)+b3*(_Y-Ys)+c3*(_Z-Zs)));
        return true;
    }
private:
    const double _x;
    const double _y;
    const double _f;
    const double _X;
    const double _Y;
    const double _Z;
};

int main ( int argc, char** argv )
{
    google::InitGoogleLogging(argv[0]);
    //read file
    string filename=argv[1];
    ifstream fin(filename.c_str());
    string line;
    vector<double> x;
    vector<double> y;
    vector<double> X;
    vector<double> Y;
    vector<double> Z;
    while(getline(fin,line))
    {
        char* pEnd;
        double a,b,c,d,e;
    }
}

```

```

        a=strtod(line.c_str(), &pEnd);
        b=strtod(pEnd, &pEnd);
        c=strtod(pEnd, &pEnd);
        d=strtod(pEnd, &pEnd);
        e=strtod(pEnd, nullptr);
        x.push_back(a);
        y.push_back(b);
        X.push_back(c);
        Y.push_back(d);
        Z.push_back(e);
    }
    //初始化参数
    double camPose[6]={0};
    camPose[0]=sumVector(X);
    camPose[1]=sumVector(Y);
    camPose[2]=sumVector(Z);
    double f = 153.24; //mm
    //    camPose[2]=50*f;
    //构建最小二乘
    ceres::Problem problem;
    try
    {
        for(int i=0; i<x.size(); ++i)
        {
            ceres::CostFunction *costfunction=new ceres::AutoDiffCostFunction<Resection, 2, 6>(new Resection(X[i], Y[i], Z[i]
            //将残差方程和观测值加入到problem, nullptr表示核函数为无,
            problem.AddResidualBlock(costfunction, nullptr, camPose);
        }
    }
    catch(...)
    {
        cout<<"costFunction error"<<endl;
    }

    // 配置求解器
    ceres::Solver::Options options; // 这里有很多配置项可以填
    options.linear_solver_type = ceres::DENSE_QR; // 增量方程如何求解
    options.minimizer_progress_to_stdout = true; // 输出到cout
    //    options.max_num_iterations=25;
    ceres::Solver::Summary summary; // 优化信息
    chrono::steady_clock::time_point t1 = chrono::steady_clock::now();
    ceres::Solve ( options, &problem, &summary ); // 开始优化
    chrono::steady_clock::time_point t2 = chrono::steady_clock::now();
    chrono::duration<double> time_used = chrono::duration_cast<chrono::duration<double>>( t2-t1 );
    cout<<"solve time cost = "<<time_used.count()<<" seconds. "<<endl;

    // 输出结果
    cout<<summary.BriefReport() <<endl;
    cout<<"*****结果*****"<<endl;
    cout<<"estimated Xs,Ys,Zs,omega,pho,kappa = ";
    for ( auto p:camPose) cout<<p<<" ";
    cout<<endl;

    return 0;
}

//输入数据格式如下：
-86.15 -68.99 36589.41 25273.32 2195.17
-53.40 82.21 37631.08 31324.51 728.69
-14.78 -76.63 39100.97 24934.98 2386.50
10.46 64.43 40426.54 30319.81 757.31

```